

## Rudna mineralizacija i struktурно-tektonski sklop područja gornjeg toka reke Jablanice (Valjevo)

*U delu sливу реке Jablanice, који се налази између планина Medvednik и Jablanik код Valjeva, изведена је šlihovska прсекција, у циљу проналађења секундарних oreola rasejavanja minerala bakra i drugih пратећих метала. Такође је извршено мерење структуре текtonског склопа. Прсекцијом су одређена два потенцијална подручја минерализација: I подручје које се може карактерисати као асоцијација Fe-Cu sulfidnih mineralizovanih stena, и II подручје које обухвата prisustvo minerala metalične hidrotermalne mineralizације. Резултати су приказани табеларно и шлиховским картама на којима је приказана концентрација индикаторних минерала у pojedinačним šlihovima. Подаци за анализу тектонског склопа сакупљени су на терену директним мерењима просторне оријентације пукотина. Прикупљени подаци потичу са relativno malog подручја, тако да указују на склоп који je lokalnog karaktera.*

### Uvod

Подручје на коме су изведена истраживања налази се у западној Србији, на око 100 km jugozападно од Београда и 15 km od Valjeva. Zahvata sливно подручје реке Jablanice између планина Medvednik и Jablanik. Истражно подручје припада нископланинском до планинском релјефу западне Србије. Планине су relativno strme sa џестим одsecima који су uslovljeni геолошким сastavom i tektonskim склопом terena. Reč je o рelјefu složenog, poligenetskog porekla где dominantnu улогу имају kraške površi i rečne doline (Jovanović 1956).

Vodotok Jablanice nastaje na visini od oko 1200 metara nadmorske visine, спајањем већег броја

pritoka које извиру на obroncima Debelog brda, односно дренирају padine Novakovače. У Jablanicu se uliva велики број притока, од којих већина има повремен tok. Kod zaseoka Bebići se сastaje sa svojom највећом притоком Velikom rekom, која дренира обронке planina Jablanik i Medvednik.

### Geološka građa

Istražno подручје припада јурском ofiolitskom комплексу Dinarida, у чији сastav улазе magmatske, sedimentne i metamorfne stene (Ćirić 1996). Припада делу Lelićkog merokarsta (Lazarević 1996).

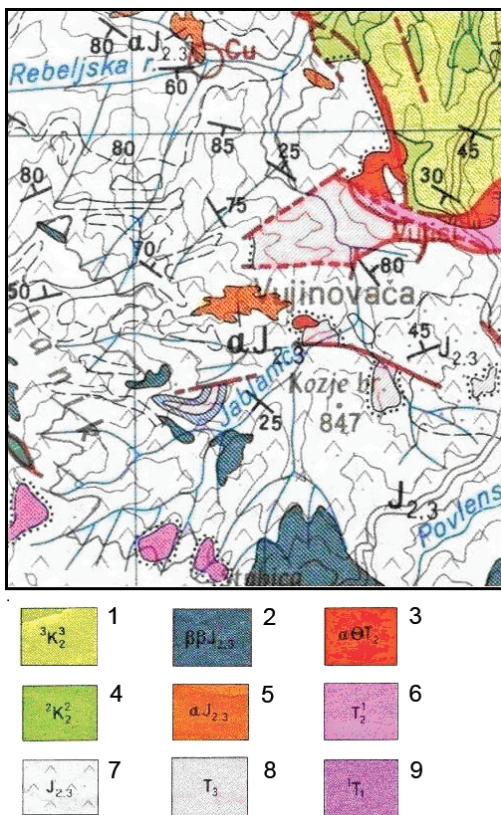
Trijaske tvorevine су представљене квартним кonglomeratima, brečama, kvarcitimа i kвартним peščarima који леже preko paleozojskih peščара. U višim slojevima гeoloških tvorevina konglomerati se smenjuju sa žutim liskunovitim peščarima, raznobojnim glincima i mermerastim krečnjacima. Preko kvargavih škriljavih krečnjaka donjem trijasa наležu dolomiti anizijskog kata који су u donjem делу brečasti, dok u višim slojevima постaju slojeviti masivni, sitnozrни sive boje.

Jurske tvorevine су представљене: fosilonosnim krečnjacima, serpentinitima, gabrovima, dijabazima, dijabaz-rožnackom формацијом i krečnjacima titona. Dijabaz-rožnackу formaciju чине: dijabazi, doleriti, spiliti, gabrovi, rožnaci, glinci, peščari, krečnjaci, konglomerati i breče. Starost оve формације одређена је на основу карактеристичне микрофауне, која је нађена на више места, увек u dolomitičnim krečnjacima.

Kредне tvorevine чине konglomerati, peščari i peskoviti krečnjaci. Konglomerati су изградени od valutaka gornjopermskih i trijaskih krečnjaka, ređe rožnaca i kvarca, povezаниh karbonатним cementom (TOGK Valjevo 1975).

Marina Vlajnić (1992), Baranda, Žarka Zrenjanina  
16, učenica 3. razreda Medicinske škole Beograd

Aleksa Vujičić (1992), Zemun, Bosutska 9,  
učenik 3. razreda Geološke i hidrometeorološke  
школе „Milutin Milanković“ u Beogradu



Slika 1.

Pregledna geološka karta šireg područja istražnog prostora (deo OGK list Valjevo, 1:100.000)

1 – laporci, peščari i krečnjaci; 2 – dijabazi, spiliti i doleriti; 3 – porfiriti i piroklastiti; 4 – krečnjaci; 5 – andeziti (porfiriti); 6 – dolomiti i dolomitični krečnjaci; 7 – dijabaz-rožnačka formacija; 8 – krečnjaci 9 – krečnjaci, kvareni konglomerati, kvarciti

Figure 1.

Geological map of the explored area (part of OGK Valjevo, 1:100000)

1 – marlstone, sandstone and limestone; 2 – diabase, spilite and dolerite; 3 – porphyry and pyroclastics; 4 – limestone; 5 – andesite (porphyry); 6 – dolomite and dolomitic limestone; 7 – melange (diabase and chert)

## Tektonske karakteristike

Istražni teren se odlikuje složenim tektonskim sklopom. Osnovno obeležje ovoj tektonskoj jedinici daje prisustvo bazalta i dijabaza rožnačke formacije,

predstavljene linearnim rasporedom sedimenta i tipično kraljušastom građom.

Područje je najvećim delom izgrađeno od vodopropusnih krečnjaka i slabije vodopropusnih magmatskih bazičnih stena, koje se u nekim delovima ponašaju kao kolektori podzemnih voda sa izdanima većeg značaja. Iz površinskih delova terena i karstnih i pukotinskih izdani prehranjuju se vodom svi vodotokovi ovog područja (TOGK Valjevo 1975).

**Cilj** ovog istraživanja je da se ispita prisustvo rudnih i indikatornih minerala, sa zadatkom određivanja oreola rasejanja rudnih minerala i određivanje geoloških karakteristika i tektonskog sklopa.

## Metode

Istraživanje je izvedeno metodama geološkog kartiranja i šlihovske prospekcije.

Terenskim istraživanjem izvršeno je geološko kartiranje i uzimanje šlihovskih proba. Uzeto je 10 šlihovskih proba sa samog toka i 8 iz njenih pritoka (slika 2). Na 12 stajnih tačaka izvršeno je direktno merenje elemenata pada pukotina. Uzorkovanje je obavljen u periodu od 18. do 20. avgusta 2010.

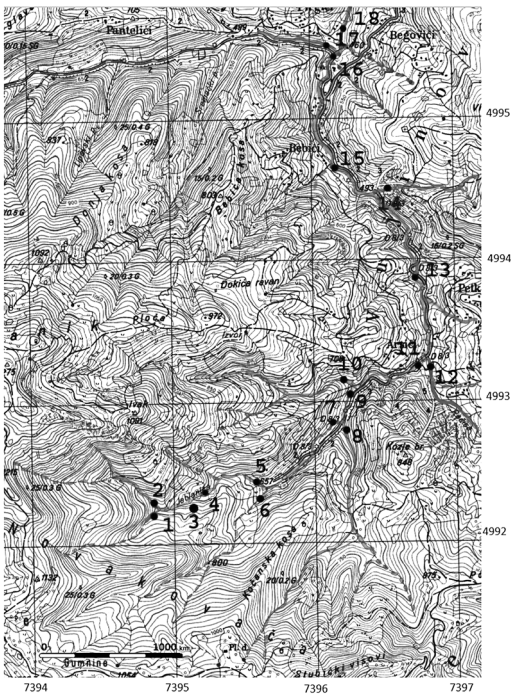
Laboratorijski rad je obuhvatio obradu šlihovskih proba, odnosno njihovu pripremu koja je obuhvatila sušenje, prosejavanje sitima promera 0.2 i 1 mm, ručno odvajanje magnetičnih od nemagnetičnih frakcija, i determinaciju minerala binokularnim mikroskopom. Određena je zastupljenost minerala u pojedinačnim šlihovima, a intenzitet prisutnosti u pojedinačnim probama dat je preko relativne zastupljenosti u tri kategorije: prisutna pojedinačna zrna (do 10 zrna u probi), srednja zastupljenost (od 10 do 100 zrna) i izrazita zastupljenost (preko 100 zrna). Podaci dobjeni merenjem elemenata pada pukotina obrađeni su statistički.

## Rezultati i diskusija

### Rezultati šlihovske prospekcije

Analizom šliha je utvrđeno prisustvo velikog broja rudnih, indikatornih i pratećih minerala. Relativna zastupljenost 15 šlihovskih minerala u pojedinačnim probama prikazana je na slici 3.

**Hematit** ( $\text{Fe}_2\text{O}_3$ ) prisutan je u svim šlihovskim probama, i to u svim oblicima zastupljenosti. Izuze-



Slika 2.

Pregledna topografska karta sa naznačenim tačkama na kojima su uzeti šlihovi

Figure 2.

Topographic map with localites on the Zavojšnica river

tnu zastupljenost hematit ima u probama 2, 6, 8, 10 i 14. Hematit je glavni rudni mineral gvožđa.

**Magnetit** ( $\text{FeO} \times \text{Fe}_2\text{O}_3$ ) je prisutan u većini proba i uglavnom je srednje zastupljen. On je petrogeni mineral koji redovno ulazi u sastav bazičnih i ultrabazičnih stena ofiolitskog kompleksa (dijabaz rožnjačke formacije) te njegovo pojavljivanje nema prospektički značaj.

**Halkopirit** ( $\text{CuFeS}_2$ ) je prisutan samo u probama 10 i 11. U pitanju su pojedinačna zrna čije se prisustvo može povezati sa pojavama bakronosne mineralizacije hidroermalnog porekla u okolnim stenama ofiolitskog melanža, malog je obima i bez prospektičkog značaja. Kristališe u tetragonalnom kristalnom sistemu. Javlja se zajedno sa malhitom i kvarcom.

**Pirit** ( $\text{FeS}_2$ ) je prisutan u većini proba, u vidu pojedinačnih zrana i srednje zastupljenosti. Pored nepravilnih zrana prisutan je i u vidu heksagonalnih formi. U nekim šlihovima pirit je delom limonitisan

po površini. Pirit je redovni pratilec svih sulfidnih ležišta, a najveće koncentracije gradi u hidrotermalnim procesima. Zbog male zastupljenosti u našim probama možemo zaključiti da su pojave pirita bez prospektičkog značaja.

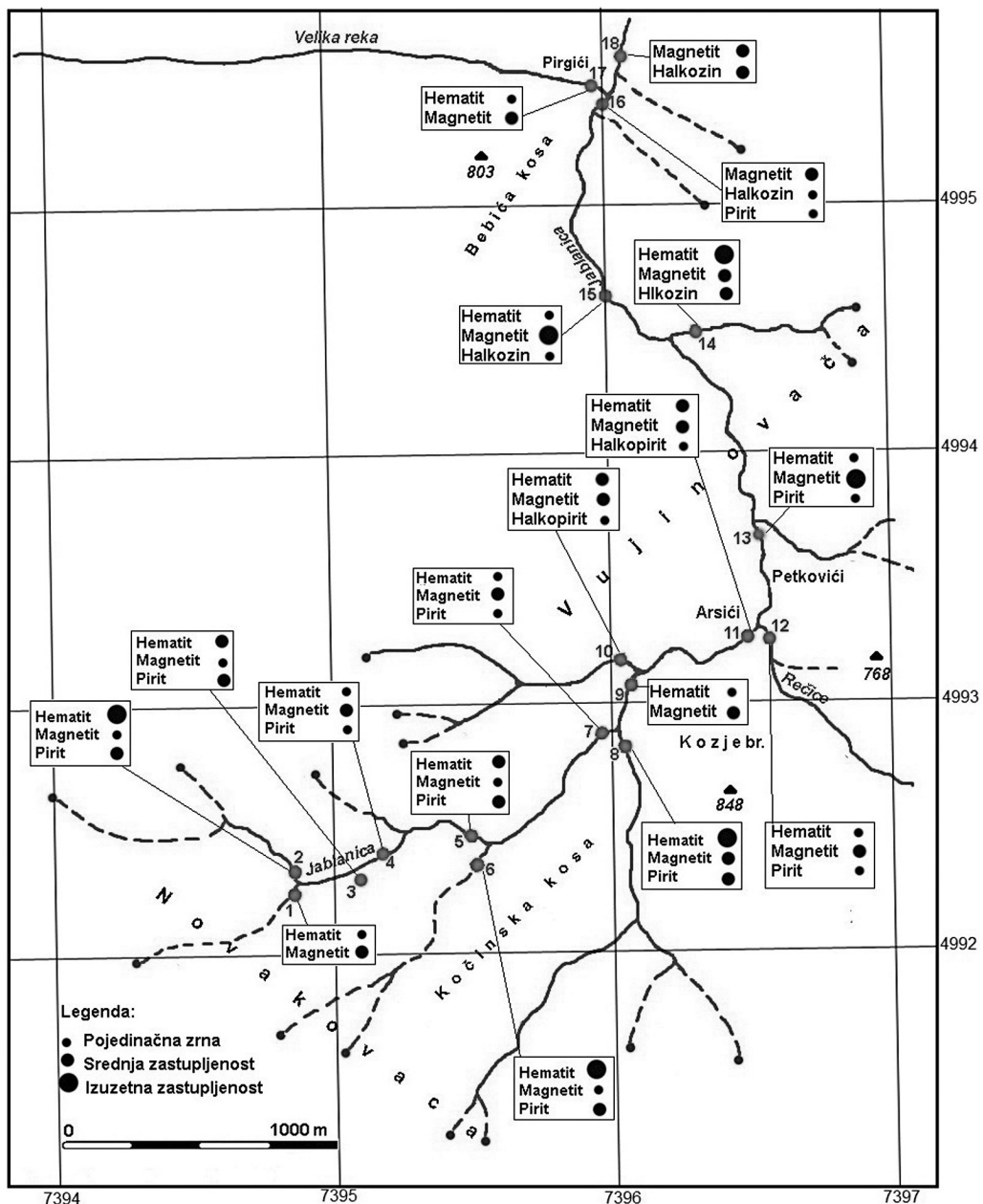
**Realgar** ( $\text{AsS}$ ) je prisutan u većem broju proba, i to samo u vidu pojedinačnih zrna. Njegovo pojavljivanje praćeno je prisustvom auripigmenta. Nastaje u niskotemperaturnim hidroermalnim procesima.

**Turmalin** (( $\text{Ca},\text{K},\text{Na})(\text{Al},\text{Fe},\text{Li},\text{Mg},\text{Mn})_3-(\text{Al},\text{Cr},\text{Fe},\text{V})_6(\text{BO}_3)_3(\text{Si},\text{Al},\text{B})_6\text{O}_{18}(\text{OH},\text{F})_4$ ) je prisutan u svim probama izuzev probe 9. U gornjim delovima toka pojavljuje se u obliku pojedinačnih zrna. Međutim, nakon ulivanja priskeće sa leve strane, neposredno pre zaseoka Arsići, koncentracija turmalina ima srednju zastupljenost. Turmalin se inače javlja sa pegmatitima koji se na ovom području nalaze u okviru ofiolitskog kompleksa.

**Galenit** ( $\text{PbS}$ ) je prisutan u probama 1, 3, 5, 8, 11, 12 i 16, gde se javlja u vidu pojedinčnih zrna. U probi 15 je srednje zastupljen. Njegovo pojavljivanje se može povezati sa mineralizacijom olova u stenama ofiolitskog pojasa hidroermalnog porekla. često se javlja u pratinji sfalerita ( $\text{ZnS}$ ). Mala zastupljenost u nanosu ukazuje da su one malog obima i bez prospektičkog značaja.

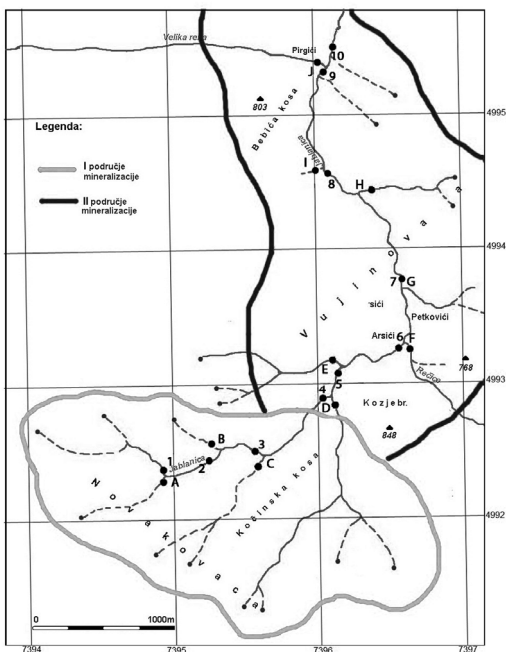
**Antimonit** ( $\text{Sb}_2\text{S}_3$ ) se javlja u svim probama izuzev proba 1, 13 i 17. Prisutan je u vidu pojedinačnih zrna i srednje zastupljenosti. Zbog malog obima njegovo pojavljivanje nema prospektički značaj u smislu okonturivanja sekundarnog oreola rasečavanja antimonove mineralizacije. Antimonova mineralizacija možda predstavlja hidroermalne deponete u krečnjacima mezozoika ili paleozojskim metamorfitima Jadarskog blok-terana, koji su genetski vezani za Boranjski intuziv. Obeležena je zonom intenzivne silifikacije i upravo za nju, i niz paralelnih pratećih razloma, vezane su sve pojave antimona u ovom rudosnosnom području.

**Kasiterit** ( $\text{SnO}_2$ ) je prisutan u pojedinim probama u vidu pojedinačnih zrna, mrke do crne boje, nepravilnih formi. Zastupljen je u šlihovima 2, 5, 7 i 8, uzetih iz gornjeg dela ispitivanog toka i dve priskeće, koje dreniraju padine Novakovače. Njegovo poreklo može biti dvojako. Najverovatnije je vezan za klase kasiterita u slabo metamorfisanim stenama paleozoika iz Jadarskog blok-terana koje su otkrivene severno od ovog područja. Takođe se može vezati i za visokotemperaturni kontaktni metamorfizam pri obdukovavanju okeanske kore u periodu zatvaranja



Slika 3.  
Karta zastupljenosti rudnih minerala u šlihovskim probama

Figure 3.  
Concentration map of ore minerals in taken slicks (the size of dots indicates volume, from individual pieces – smallest, to high concentration – largest)



Slika 4.  
Područja rudnih oreola

Figure 4.  
The mineralization and ore area

Vardarskog okeanskog prostora. Istražno područje je u zoni podvlačenja, gde su pritisci i temperature prilikom ovih pokreta bili najveći, pa je u malom obimu moguća pojava visokotemperaturnih hidrotermalnih žica sa mineralizacijom kalaja.

**Rutil** ( $TiO_2$ ) javlja se u svim probama izuzev proba 4, 5, 9 i 10 u vidu pojedinačnih zrna, a srednju zastupljenost ima u probama 13 i 14. Rutil je titanov dioksid i nastaje u metamorfnim procesima.

**Olivin** ( $(Mg, Fe)_2SiO_4$ ) se javlja u svim probama izuzev tačaka 4 i 5. Pojavljuje se u vidu pojedinačnih zrna, a srednju zastupljenost ima u probama 7, 10, 13, 15, 17 i 18. Olivin je veoma nestabilan mineral i u prisustvu vode prelazi u serpentinit, magnetit i rutil. Predstavlja ultra bazične silikate magmatskog postanka, i izgrađuju bazične i ultra bazične magmatske stene.

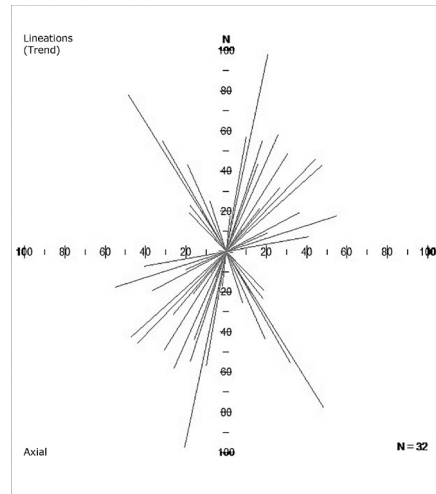
**Amfibol** se u većini proba javlja u vidu pojedinačnih zrna, a srednju zastupljenost ima u probama 2, 12 i 15. Amfibol je važan petrogeni mineral koji ulazi u sastav magmatskih bazičnih do neutralnih stena.

**Arsenopirit** ( $FeAsS$ ) je prisutan samo u probi 4 i to u vidu pojedinačnog zrna. To je prateći mineral olova i cinka koji nastaje u hidrotermalnim procesima.

**Halkozin**, bakrov sulfid, se u probama 14 i 18 javlja u vidu srednje zastupljenosti, dok je u probama 15 i 16 u vidu pojedinačnih zrna.

### Rezultati strukturno-tektonskog istraživanja

Od strukturno-tektonskih elemenata izražene su pukotine smicanja, koje se najčešće javljaju u krečnjačkim stenskim masama.



Slika 5.  
Rozeta merenih elemenata

Figure 5.  
Graphic measured elements

Bilingsov dijagram sklopa prikazuje merene podatke pukotina smicanja (slika 5). Gornja polurozeta prikazuje vrednosti azimuta padnih pravi pukotina. Na osnovu analize uočeno je da se ne izdvaja jasan pravac pružanja azimuta, već ih ima nekoliko koji su uglavnom orientisani pravcima sever-severoistok i jug-jugozapad.

Donja polurozeta predstavlja dijagram pada tj. padne uglove pukotina. Iz ovog prikaza se može zaključiti da je najveći broj pukotina strmog pada odnosno najfrekventniji su uglovi od  $60^\circ$ - $75^\circ$ .

## Zaključak

Na osnovu dobijenih podataka mogu se definisati dva potencijalna područja mineralizacija (slika 4):

- Prvo područje karakteriše se kao asocijacija Fe-Cu sulfidnih mineralizovanih stena u okviru bazičnog vulkanogeno-sedimentnog kompleksa ofioltskog melanža, u kome je karakteristično prisustvo pirita, halkopirita i halkozina.
- Drugo područje obuhvata prisustvo minerala metalične hidrotermalne mineralizacije u trijaskim sedimentima kao što su magnetit i hematit.

U šlihovskim probama konstatovano je prisustvo antimonita koji je eksploatisan u neposrednoj blizini (Mojići). Očekivano povećanje koncentracije bakra nije utvrđeno. Verovatno je mineralizacija bakra u dubljim nivoima i nije zahvaćena savremenim procesima raspadanja. Korita pritoka Jablanice su u izvorišnom delu plitka, velikog nagiba i sa malo sedimenta pogodnog za koncentraciju šlihovskih minerala.

Značajno je navesti izuzetno visok sadržaj minerala hematita u šlihovskim probama. Njegovo poreklo može se vezati za kontaktne zone gornjetrijaskih krečnjaka i porfirita koji se nalaze u sливном području ove pritoke. U cilju bližeg definisanja primarnih izvora mineralizacije neophodno je primeniti i druge prospekcijske metode, a takođe i progustiti mrežu uzimanja šlihovskih proba.

Analize strukturnog sklopa pokazuju da po azimu postoji nekoliko pravaca pružanja, koji su uglavnom orijentisani pravcem sever-severoistok i jug-jugozapad. Takođe se može zaključiti da je najveći broj pukotina strmog pada. Za detaljnije rezultate potrebno je povećati broj merenja na terenu.

**Zahvalnost.** Veliku pomoć pri izradi ovog rada pružili su nam mr. Rajko Kondžulović, dipl. inž. geologije, profesorka Dušica Petrašinović i rukovodilac programa, Radisav Golubović, dipl. inž. geologije, ne čemu im se najtoplje zahvaljujemo.

## Literatura

Ćirić B. 1996. *Geologija Srbije*. Beograd: Geokarta

Dimitrijević M. 1981. *Geološko kartiranje*. Beograd: Naučna knjiga

Dukanović Đ. 2000. *Klima valjevskog kraša*. Valjevo: Valjevac

Jevremović Ž. 1953. *Planine zapadne Srbije*. Beograd

Jovanović B. 1956. *Relief sliva Kolubare*. Beograd: Srpska akademija nauke i umetnosti

Petković K. 1976. *Geologija Srbije*. Beograd: Zavod za regionalnu geologiju i Rudarsko-geološki fakultet

Lazarević R. 1996. *Valjevski kras*. Beograd: Srpsko geografsko društvo

TOGK 1975. *Tumač osnovne geološke karte, list Valjevo*. Beograd: Savezni geološki zavod

Vasović M. 2003. *Podrinjsko-valjevske planine*. Valjevo: Valjevac

---

Marina Vlajnić and Aleksa Vujinović

## Ore Mineralization and Structural-Tectonic Set of the Upper Stream of Jablanica River Area

In the Jablanica river basin, located between the Medvednik and Jablanik mountains, near Valjevo, slicks screening was conducted, in order of determining the secondary scattering halos of copper and other associated metal minerals. The structure of the tectonic sets was determined. Results indicate that the slicks screening method can be used for determining the mechanical scattering halos.

Slicks screening was used on two suspected mineralization areas. The first can be described as an Fe-Cu association of sulfide rocks, while the second area includes minerals of metallic hydrothermal mineralization. The results are presented in tables and slicks maps, which include the concentration of indicator minerals in separated slicks.

The data necessary for analyzing the tectonic composition was gathered in the field, by directly measuring the special orientation of the cracks. Data was gathered from a small area, so only a local circuit composition could be determined.

